

**Q 3 物理****Q 4 化学****Q 5 生物**

この冊子は、 **物理** , **化学** 及び **生物** の問題を 1 冊にまとめてあります。

電子応用工学科は物理指定

材料工学科は、 物理または化学のどちらかを選択

生物工学科は、 物理、 化学、 生物のいずれかを選択

物理の問題は、 1 ページより 22 ページまであります。

化学の問題は、 23 ページより 37 ページまであります。

生物の問題は、 38 ページより 66 ページまであります。

**[注 意]**

- (1) 試験開始の指示があるまで、 この冊子を開いてはいけません。
- (2) 監督者から受験番号等記入の指示があったら、 解答用紙に受験番号と氏名を記入してください。また、 解答用マークシートに受験番号と氏名を記入し、 さらに受験番号をマークしてください。
- (3) 解答は、 所定の解答用紙に記入したもの及び解答用マークシートにマークしたものだけが採点されます。
- (4) 解答用マークシートについて
  - ① 解答用マークシートは、 絶対に折り曲げてはいけません。
  - ② マークには黒鉛筆(H B またはB)を使用してください。  
指定の黒鉛筆以外でマークした場合、 採点できないことがあります。
  - ③ 誤ってマークした場合は、 消しゴムで丁寧に消し、 消しきずを完全に取り除いたうえ、 新たにマークしてください。
  - ④ 解答欄のマークは、 横 1 行について 1 箇所に限ります。  
2 箇所以上マークすると採点されません。  
あいまいなマークは無効となるので、 はっきりマークしてください。
  - ⑤ 解答用マークシートに記載されている解答上の注意事項を、 必ず読んでから解答してください。
- (5) 試験開始の指示があったら、 初めに問題冊子のページ数を確認してください。  
ページの落丁・乱丁、 印刷不鮮明等に気づいた場合は、 手を挙げて監督者に知らせてください。
- (6) 問題冊子は、 試験終了後、 持ち帰ってください。





# 物 理

以下の物理の問題 **1**, **2**, **3**, **4**において、文章中の **(ア)** などにあてはまる最も適当なものを指定の解答群の中から選び、その番号を解答用マークシートの指定欄にマークしなさい。ただし、**(ア)** などは既出の **(ア)** などを表す。

## **1** (40 点)

- (1) 図 1-1 のように、ばね定数  $k$  [N/m] の軽いばねの左端を固定し、右端に質量  $m$  [kg] の小球をとりつけた。ばねと小球は水平な床の上にある。ばねが自然の長さのときの小球の位置を原点とし、ばねが伸びる向きに  $x$  軸をとる。以下では、小球の位置は座標  $x$  [m] を用いて表す。床はあらく、小球と床との間の静止摩擦係数は  $\mu$ 、動摩擦係数は  $\mu'$  である。 $\mu'$  は  $\mu' = \frac{3}{4}\mu$  と表すことができる。重力加速度の大きさを  $g$  [m/s<sup>2</sup>] とする。

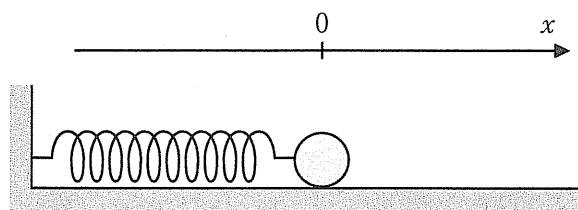


図 1-1

- (a) 小球の位置  $x$  [m] を変え静かに放したとき、小球が静止したまま動かない  $x$  の範囲を範囲 A と呼ぶことにする。範囲 A は原点対称で  $-x_c \leq x \leq x_c$  と表すことができ、 $x_c = \boxed{\text{(ア)}}$  [m] である。

次に、小球をひっぱり、小球の位置を  $x = l[\text{m}]$  ( $l > x_c$ ) としてから、静かに放す。その後の小球の運動は  $l[\text{m}]$  の値によって異なる。図 1-2 は、小球を放してから完全に停止するまでの動きを、①、②の 2 つの場合について示してある。①の運動は左向きにのみ動き、向きを変えることなく停止する場合である。②の運動は一度だけ向きを反転し、右向きに動いてから停止する場合である。以下では、これら 2 つの運動について考える。

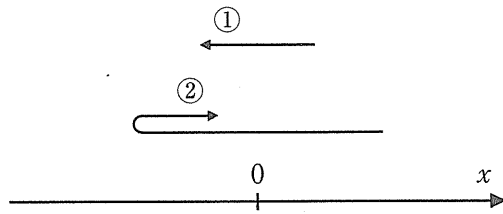


図 1-2 小球を放してから完全に停止するまでの動き

#### (ア)の解答群

$$(1) \frac{1}{4} \left( \frac{\mu mg}{k} \right)$$

$$(2) \frac{1}{2} \left( \frac{\mu mg}{k} \right)$$

$$(3) \frac{3}{4} \left( \frac{\mu mg}{k} \right)$$

$$(4) \left( \frac{\mu mg}{k} \right)$$

$$(5) \frac{5}{4} \left( \frac{\mu mg}{k} \right)$$

$$(6) \frac{3}{2} \left( \frac{\mu mg}{k} \right)$$

(b) 図1-2の①の運動について考える。小球を放したあと、はじめのうち小球にはたらく力の合力は左向きで、小球の速さは増加する。しかし、小球の位置が  $x = \boxed{\text{イ}}$  [m]に達したあと合力の向きは反転し、小球の速さは減少に転じる。その後、 $l$ [m]の値によっては、小球がちょうど  $x = 0$  で停止する場合がある。このような運動となるのは、 $l = \boxed{\text{ウ}}$  [m]のときである。また、このとき小球を放してから小球が停止するまでの時間は  $\boxed{\text{エ}}$  [s]である。

一般に、小球が動きはじめてから最初に速さが0となる小球の位置を  $x_1$ [m] とすると、 $x_1 = \boxed{\text{オ}}$  [m] である。①の運動となるのは、位置  $x_1$  が範囲 A にあるときである。よって、①の運動となる  $l$ [m] の値の範囲は、 $x_c < l \leq \boxed{\text{カ}}$  である。一般に、①の運動で小球が停止したとき、静止摩擦力の大きさは  $\boxed{\text{キ}}$  [N] である。

(c) 図1-2の②の運動について考える。 $\boxed{\text{カ}} < l$  のとき、小球は位置  $x_1 = \boxed{\text{オ}}$  [m] で完全に停止することなく、右向きに動きはじめる。②の運動となるのは、小球が右向きに動き始めた後、再び  $x > x_c$  の範囲(範囲 A の外)に達することなく停止するときである。よって、②の運動となる  $l$ [m] の値の範囲は、 $\boxed{\text{カ}} < l \leq \boxed{\text{ク}}$  である。②の運動で小球が右向きに動いているとき、小球の運動エネルギーが増加するのは、小球の位置  $x$ [m] の範囲が  $x_1 < x < -\boxed{\text{ケ}}$  のときである。小球が右向きに動きはじめてから停止するまでの時間は  $\boxed{\text{コ}}$  [s] である。

右のページは白紙です。





(イ), (ウ), (カ), (ク), (ケ)の解答群

(0) 0

(1)  $\frac{1}{4} \left( \frac{\mu mg}{k} \right)$

(2)  $\frac{1}{2} \left( \frac{\mu mg}{k} \right)$

(3)  $\frac{3}{4} \left( \frac{\mu mg}{k} \right)$

(4)  $\left( \frac{\mu mg}{k} \right)$

(5)  $\frac{3}{2} \left( \frac{\mu mg}{k} \right)$

(6)  $2 \left( \frac{\mu mg}{k} \right)$

(7)  $\frac{5}{2} \left( \frac{\mu mg}{k} \right)$

(8)  $3 \left( \frac{\mu mg}{k} \right)$

(9)  $4 \left( \frac{\mu mg}{k} \right)$

(エ), (コ)の解答群

(1)  $\frac{\pi}{4} \sqrt{\frac{m}{k}}$

(2)  $\frac{\pi}{2} \sqrt{\frac{m}{k}}$

(3)  $\frac{3\pi}{4} \sqrt{\frac{m}{k}}$

(4)  $\pi \sqrt{\frac{m}{k}}$

(5)  $\frac{5\pi}{4} \sqrt{\frac{m}{k}}$

(6)  $\frac{3\pi}{2} \sqrt{\frac{m}{k}}$

(7)  $\frac{\pi}{\sqrt{\frac{k}{m} - \frac{3\mu g}{4l}}}$

(8)  $\frac{\pi}{\sqrt{\frac{k}{m} - \frac{3\mu g}{8l}}}$

(9)  $\frac{\pi}{\sqrt{\frac{k}{m} - \frac{\mu g}{4l}}}$

(オ)の解答群

(1)  $-\frac{3}{2} \left( \frac{\mu mg}{k} \right) + l$

(2)  $-\left( \frac{\mu mg}{k} \right) + l$

(3)  $-\frac{1}{2} \left( \frac{\mu mg}{k} \right) + l$

(4)  $\frac{1}{2} \left( \frac{\mu mg}{k} \right) - l$

(5)  $\left( \frac{\mu mg}{k} \right) - l$

(6)  $\frac{3}{2} \left( \frac{\mu mg}{k} \right) - l$

(キ)の解答群

(1)  $\frac{1}{2} \mu mg$

(2)  $\frac{3}{4} \mu mg$

(3)  $\mu mg$

(4)  $\left| \frac{1}{2} \mu mg - kl \right|$

(5)  $|\mu mg - kl|$

(6)  $\left| \frac{3}{2} \mu mg - kl \right|$

左のページは白紙です。

(2) 一般に、天体からある距離の地点にある物体が、その天体から無限遠に飛び去るために必要な、最小限の速度の大きさを脱出速度と呼ぶ。この脱出速度を基準にして、天体の万有引力のもとでの探査機の運動を調べてみよう。

以下では、天体の質量を  $M[\text{kg}]$ 、探査機の質量を  $m[\text{kg}]$ 、万有引力定数を  $G[\text{N}\cdot\text{m}^2/\text{kg}^2]$  とし、万有引力による位置エネルギーの基準を無限遠とする。

また、天体は静止しているものとし、探査機や天体の大きさは無視できるものとする。

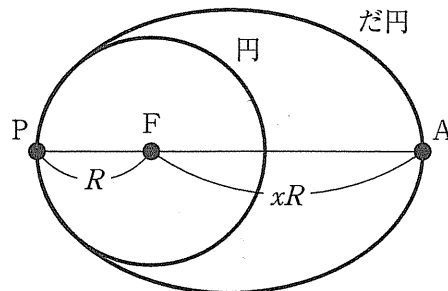


図 1-3

(a) はじめ、探査機は、図 1-3 のように、点 F にある天体から距離  $R[\text{m}]$  で円運動していた。その速さを  $v_c[\text{m}/\text{s}]$  とすると、 $v_c = \boxed{\text{(サ)}}$  [ $\text{m}/\text{s}$ ] である。天体から距離  $R$  の地点にある探査機の脱出速度を  $v_e[\text{m}/\text{s}]$  とすると、 $v_e = \boxed{\text{(シ)}}$  [ $\text{m}/\text{s}$ ] である。円運動の速さ  $v_c$  は脱出速度  $v_e$  の  $\boxed{\text{(ス)}}$  倍である。

(サ), (シ)の解答群

$$(1) \frac{1}{2} \sqrt{\frac{GM}{R}}$$

$$(2) \sqrt{\frac{GM}{2R}}$$

$$(3) \sqrt{\frac{GM}{R}}$$

$$(4) \sqrt{\frac{2GM}{R}}$$

$$(5) 2\sqrt{\frac{GM}{R}}$$

(ス)の解答群

$$(1) \frac{1}{2}$$

$$(2) \frac{1}{\sqrt{2}}$$

$$(3) 1$$

$$(4) \sqrt{2}$$

$$(5) 2$$

(b) その後、探査機は、図1-3の点Pにおいて、円運動の接線方向への加速で速さが増加し、脱出速度 $v_e$ のn倍の速さになった。このとき、 $n > \boxed{\text{ス}}$ である。いま、探査機がだ円軌道を描くと仮定しよう。この軌道で点Fから最も近い点は点Pであり、最も遠い点は図1-3の点Aとなる。点Fと点Aの距離をR[m]のx倍として、xを求めよう。

点Aにおける速さを $v_A$ [m/s]とすると、面積速度一定の法則より  
 $\frac{1}{2}Rnv_e = \boxed{\text{セ}}$  が成り立つ。また、点Pと点Aにおける力学的エネルギー保存則が成り立つ。以上より、 $v_A$ を消去して得られるxが満たす方程式は、次の式で表される。

$$\boxed{\text{ソ}} x^2 + x + \boxed{\text{タ}} = 0$$

$1 \leq n$ の場合、探査機は無限遠に飛び去る。したがって、探査機が天体の周りをだ円軌道で運動するのは、 $\boxed{\text{ス}} < n < 1$ の場合であり、xが満たす方程式の解は $x = 1$ と $x = \boxed{\text{チ}}$ の2つである。後者が点Aを表す解である。

#### (セ)の解答群

- |                                 |   |   |
|---------------------------------|---|---|
| (1) $\frac{v_A^2}{x\sqrt{GMR}}$ | (2) $\frac{1}{2} \frac{v_A^2}{x\sqrt{GMR}}$ | (3) $\frac{1}{4} \frac{v_A^2}{x\sqrt{GMR}}$ |
| (4) $xRv_A$                     | (5) $\frac{1}{2}xRv_A$                      | (6) $\frac{1}{4}xRv_A$                      |

#### (ソ), (タ)の解答群

- |                 |              |                 |                   |
|-----------------|--------------|-----------------|-------------------|
| (1) $(n^2 - 1)$ | (2) $n^2$    | (3) $(n - 1)^2$ | (4) $1$           |
| (5) $(n^2 + 1)$ | (6) $(-n^2)$ | (7) $n(n - 1)$  | (8) $\frac{1}{2}$ |

#### (チ)の解答群

- |                           |                           |                           |                           |
|---------------------------|---------------------------|---------------------------|---------------------------|
| (1) $\frac{n}{1 - n}$     | (2) $\frac{n}{n - 1}$     | (3) $\frac{1 - n}{n}$     | (4) $\frac{n - 1}{n}$     |
| (5) $\frac{n^2}{1 - n^2}$ | (6) $\frac{n^2}{n^2 - 1}$ | (7) $\frac{1 - n^2}{n^2}$ | (8) $\frac{n^2 - 1}{n^2}$ |

(3) 図1-4のように、直角三角形のうすい板がある。板の質量は  $m$  [kg]、板にはたらく重力の作用点は G である。板の頂点 A, B, C に軽い糸をつけて引き上げ、板のつり合いについて考える。ただし、糸は常に鉛直方向を向くようにする。このとき、頂点 A, B, C につけた糸が板を引く力(張力)の大きさを、それぞれ  $T_A$  [N],  $T_B$  [N],  $T_C$  [N] と表すことにする。重力加速度の大きさを  $g$  [m/s<sup>2</sup>] とする。

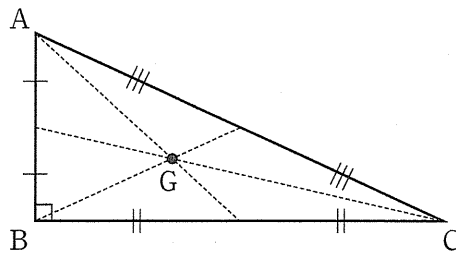


図1-4

- (a) 頂点 A, C につけた糸を持ち、2本の糸だけで板を完全に持ち上げた。  
辺 BC が水平になるようにしたとき、 $T_A$  は (イ)  $mg$  [N],  $T_C$  は (ア)  $mg$  [N] である。
- (b) 板をなめらかで水平な床の上に置く。頂点 A につけた糸を持ち、1本の糸だけで板を少し引き上げ、板を傾けた。このとき、辺 BC は床と接したままで、板と床のなす角は  $\theta$  [rad] ( $0 < \theta < \frac{\pi}{2}$ ) であった。このとき、板が床から受ける垂直抗力の作用点を D とすると、点 D は辺 BC 上にある。線分 BC の長さに対する線分 BD の長さの比を  $x$  ( $0 \leq x \leq 1$ ) とすると、 $x =$  (ト) である。このことを踏まえると、板が床から受ける垂直抗力の大きさは (ナ)  $mg$  [N],  $T_A$  は (ニ)  $mg$  [N] となる。
- (c) つづいて、(b)の状態からさらに頂点 B, C につけた糸も持ち、3本の糸で板を鉛直上方に平行移動し、完全に持ち上げた。このとき、 $T_A$  は (ヌ)  $mg$  [N],  $T_B$  は (ネ)  $mg$  [N],  $T_C$  は (ノ)  $mg$  [N] となる。

右のページは白紙です。





(ソ), (テ)の解答群

(1)  $\frac{1}{4}$

(2)  $\frac{1}{3}$

(3)  $\frac{1}{2}$

(4)  $\frac{2}{3}$

(5)  $\frac{3}{4}$

(6) 1

(ト)～(ツ)の解答群

(10) 0

(11)  $\frac{1}{4}$

(12)  $\frac{1}{3}$

(13)  $\frac{1}{2}$

(14)  $\frac{2}{3}$

(15)  $\frac{3}{4}$

(16) 1

(17)  $\frac{1}{3}\cos\theta$

(18)  $\frac{2}{3}\cos\theta$

(19)  $\cos\theta$

(20)  $\frac{1}{3}\sin\theta$

(21)  $\frac{2}{3}\sin\theta$

(22)  $\sin\theta$

(23)  $\frac{1}{3}\cos^2\theta$

(24)  $\frac{2}{3}\cos^2\theta$

(25)  $\cos^2\theta$

(26)  $\frac{1}{3}\sin^2\theta$

(27)  $\frac{2}{3}\sin^2\theta$

(28)  $\sin^2\theta$

(29)  $\left(1 - \frac{1}{3}\cos\theta\right)$

(30)  $\left(1 - \frac{2}{3}\cos\theta\right)$

(31)  $(1 - \cos\theta)$

(32)  $\left(1 - \frac{1}{3}\sin\theta\right)$

(33)  $\left(1 - \frac{2}{3}\sin\theta\right)$

(34)  $(1 - \sin\theta)$

(35)  $\left(1 - \frac{1}{3}\cos^2\theta\right)$

(36)  $\left(1 - \frac{2}{3}\cos^2\theta\right)$

(37)  $\left(1 - \frac{1}{3}\sin^2\theta\right)$

(38)  $\left(1 - \frac{2}{3}\sin^2\theta\right)$

左のページは白紙です。

**2** (35 点)

- (1) ある電球にかかる電圧と電流の関係を測定したところ、図2-1に示すグラフを得た。この電球を2つ用いて、図2-2に示すように、内部抵抗の無視できる起電力12Vの電池と、 $15\Omega$ の抵抗をつないだ。このとき電球に流れる電流は  A である。次に、同じ電球2つを用いて、図2-3に示すように、内部抵抗の無視できる起電力10Vの電池と、 $5.0\Omega$ の抵抗をつないだ。このとき、2つの電球で消費される電力の合計は  W である。

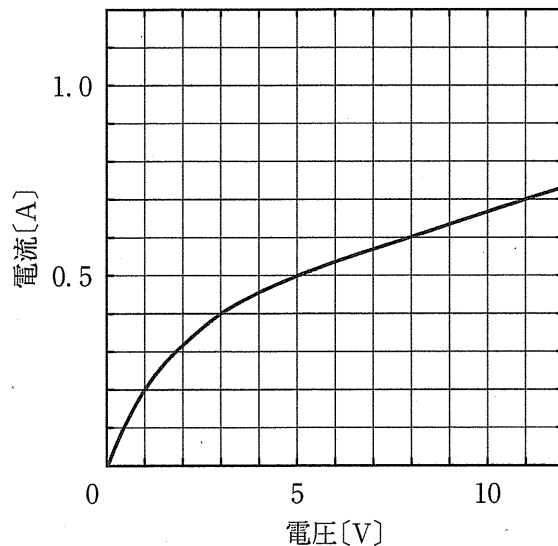


図2-1

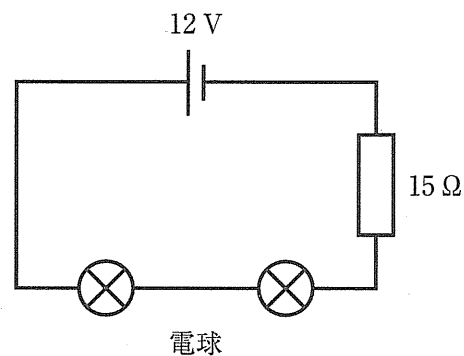


図 2-2

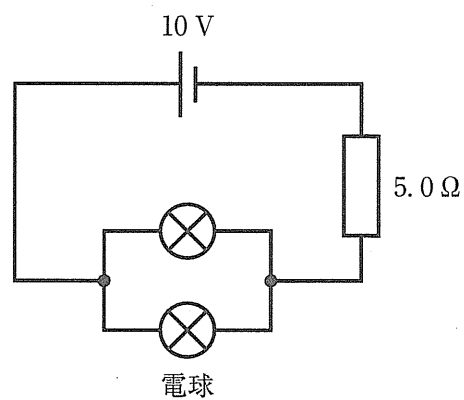


図 2-3



(ア)の解答群

- |          |          |          |          |          |
|----------|----------|----------|----------|----------|
| (1) 0.10 | (2) 0.20 | (3) 0.25 | (4) 0.30 | (5) 0.40 |
| (6) 0.50 | (7) 0.75 | (8) 0.90 |          |          |

(イ)の解答群

- |          |         |         |         |         |
|----------|---------|---------|---------|---------|
| (1) 0.50 | (2) 1.0 | (3) 2.5 | (4) 5.0 | (5) 7.5 |
| (6) 10   | (7) 12  | (8) 14  |         |         |

左のページは白紙です。

(2) 図2-4, 2-5のような、スイッチ、電池、抵抗、ダイオード、コンデンサーからなる回路がある。以下の条件のとき、b点を基準としたa点の電位  $V_a$ [V]を答えなさい。なお、すべての電池は起電力  $E$ [V]、内部抵抗  $0\Omega$  であり、すべての抵抗の電気抵抗は等しい。すべてのダイオードは、整流作用のみを有し、順方向の電圧の場合は電気抵抗が非常に小さく  $0\Omega$  と見なすことができ、逆方向の電圧の場合は電流が全く流れないものとする。図2-4, 2-5のいずれの場合も、はじめにスイッチは開いており、コンデンサーには電荷がたくわえられていない。

(a) 図2-4の回路で、スイッチを閉じ、じゅうぶん時間が経過した。このとき  $V_a$  は  (ウ) [V] である。次にスイッチを開いた。直後の  $V_a$  は  (エ) [V] である。その後、じゅうぶん時間が経過した。このとき  $V_a$  は  (オ) [V] である。

(b) 図2-5の回路で、スイッチを閉じ、じゅうぶん時間が経過した。このとき  $V_a$  は  (カ) [V] である。次にスイッチを開いた。直後の  $V_a$  は  (キ) [V] である。その後、じゅうぶん時間が経過した。このとき  $V_a$  は  (ク) [V] である。

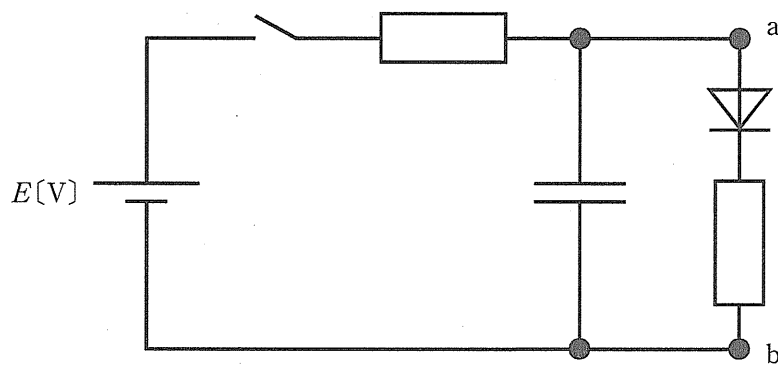


図 2-4

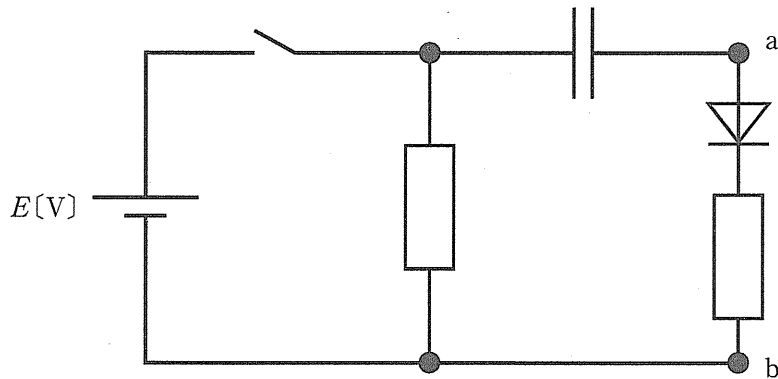


図 2-5

(ウ)～(ク)の解答群

(0) 0

(1)  $-\frac{1}{4}E$       (2)  $-\frac{1}{2}E$       (3)  $-E$       (4)  $-2E$

(5)  $\frac{1}{4}E$       (6)  $\frac{1}{2}E$       (7)  $E$       (8)  $2E$

(3) 図 2-6, 2-7 は、真空中で、点電荷が電場(電界)の中で加速され、磁場(磁界)の中に入った後、出ていくようすを表す。

2枚の平行な極板 a, b 間には紙面に平行で一様な電場があり、電場の漏れはない。極板間の間隔は  $d$  [m], 電位差は  $V$  [V] である。極板 b には点電荷が通る小さな穴がある。図の灰色で示す領域には紙面に垂直で磁束密度の大きさが  $B$  [T] の一様な磁場がある。その境界面は紙面に垂直な平面である。点電荷は、質量  $m$  [kg], 電気量  $q$  [C] ( $q > 0$ ) である。

点電荷は、はじめに極板 a の位置で静止していて、紙面内を運動する。重力および地磁気の影響は無視できる。

(a) 図 2-6, 2-7において、極板間の電場の大きさは (ケ) [V/m] である。また、磁場に入る直前の点電荷の速さは (コ) [m/s] である。図の点電荷の運動のようすから、磁場の向きは (サ) の向きである。

(b) 図 2-6 は、点電荷が磁場の境界面に対し垂直に磁場に入る場合を表す。このとき磁場中では点電荷には大きさ (シ) [N] の力がはたらき、これを向心力として点電荷は等速円運動をする。点電荷が磁場に入る点を P, 磁場から出る点を Q とすると、PQ 間の距離は (ス) [m] であり、点電荷が磁場に入ってから出るまでの時間は (セ) [s] である。

(c) 図 2-7 は、図 2-6 の極板 a, b を、磁場の境界面に対し斜めに配置し、点電荷が磁場の境界面に対し角度  $\theta$  [rad] で磁場に入る場合を表す。点電荷が磁場に入る点を R, 磁場から出る点を S とすると、RS 間の距離は (ソ) [m] であり、点電荷が磁場に入ってから出るまでの時間は (タ) [s] である。

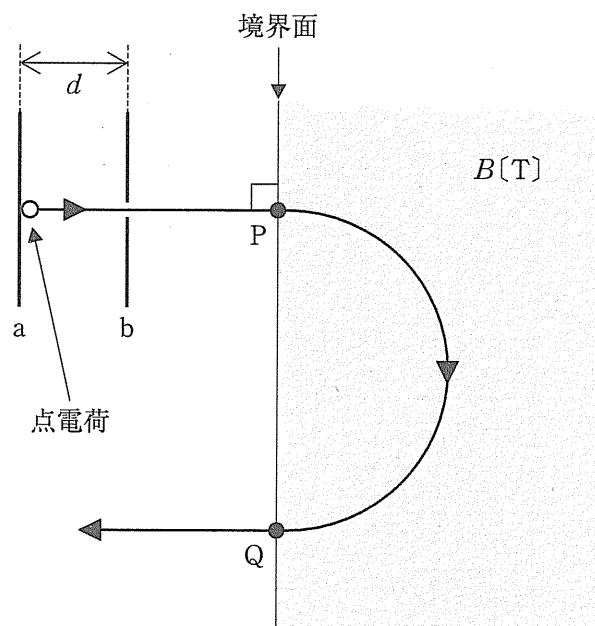


図 2-6

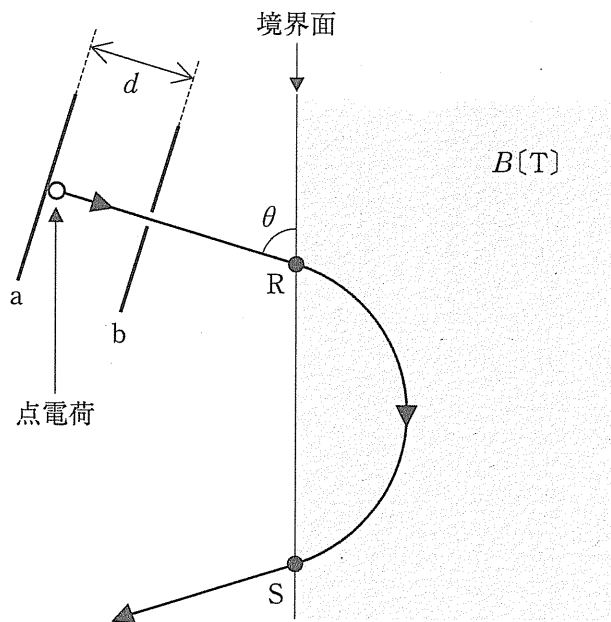


図 2-7



(ケ)～(サ)の解答群

(11) 紙面裏から表

$$(13) \frac{V}{2d}$$

$$(17) \sqrt{\frac{qV}{2m}}$$

$$(14) \frac{V}{d}$$

$$(18) \sqrt{\frac{qV}{m}}$$

(12) 紙面表から裏

$$(15) \frac{Vd}{2}$$

$$(19) \sqrt{\frac{2qV}{m}}$$

$$(16) Vd$$

$$(20) \sqrt{\frac{4qV}{m}}$$

(シ)～(セ)の解答群

$$(11) Bq\sqrt{\frac{qV}{2m}}$$

$$(14) Bq\sqrt{\frac{4qV}{m}}$$

$$(17) \frac{2}{B}\sqrt{\frac{mV}{q}}$$

$$(20) \frac{\pi m}{Bq}$$

$$(12) Bq\sqrt{\frac{qV}{m}}$$

$$(15) \frac{1}{B}\sqrt{\frac{mV}{q}}$$

$$(18) \frac{2}{B}\sqrt{\frac{2mV}{q}}$$

$$(21) \frac{2\pi m}{Bq}$$

$$(13) Bq\sqrt{\frac{2qV}{m}}$$

$$(16) \frac{1}{B}\sqrt{\frac{2mV}{q}}$$

$$(19) \frac{\pi m}{2Bq}$$

$$(22) \frac{4\pi m}{Bq}$$

(ソ), (タ)の解答群

$$(11) \frac{1}{B}\sqrt{\frac{mV}{q}} \sin \theta$$

$$(13) \frac{2}{B}\sqrt{\frac{mV}{q}} \sin \theta$$

$$(15) \frac{1}{B}\sqrt{\frac{mV}{q}} \cos \theta$$

$$(17) \frac{2}{B}\sqrt{\frac{mV}{q}} \cos \theta$$

$$(19) \frac{\theta m}{2Bq}$$

$$(12) \frac{1}{B}\sqrt{\frac{2mV}{q}} \sin \theta$$

$$(14) \frac{2}{B}\sqrt{\frac{2mV}{q}} \sin \theta$$

$$(16) \frac{1}{B}\sqrt{\frac{2mV}{q}} \cos \theta$$

$$(18) \frac{2}{B}\sqrt{\frac{2mV}{q}} \cos \theta$$

$$(20) \frac{\theta m}{Bq} \quad (21) \frac{2\theta m}{Bq} \quad (22) \frac{4\theta m}{Bq}$$

左のページは白紙です。

3 (15 点)

図 3-1, 3-2 のように、Oを中心にして水平面からの角度を変更できるシリンダーを考える。シリンダーの断面積は  $S[m^2]$  であり、同じ断面積で質量が  $M[kg]$  のピストンがなめらかに動くようになっている。シリンダー内には 1 mol の理想気体が注入されている。シリンダーとピストンは断熱材でできていて、気体は直接外部との熱のやりとりをおこなうことはできない。しかし、シリンダーには熱交換器がついていて、これを通じてシリンダー内の気体に熱を加えたり、気体から熱をとりさりができる。以下では、この機構をもちいて、ピストンが常に自由に動く状態で実験をおこなう。気体定数を  $R[J/(K \cdot mol)]$ 、気体の定積モル比熱を  $C_v[J/(K \cdot mol)]$ 、大気圧を  $P_0[N/m^2]$ 、重力加速度の大きさを  $g[m/s^2]$  とする。

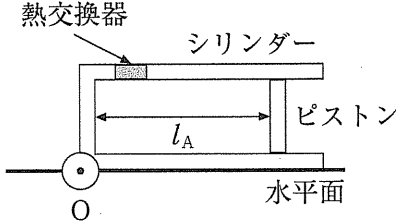


図 3-1

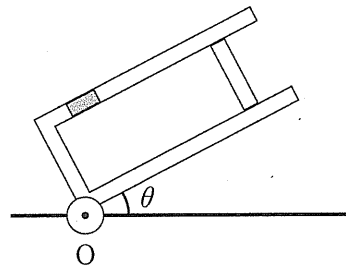


図 3-2

はじめに、図 3-1 のように、シリンダーと水平面のなす角度が  $0^\circ$  で、シリンダー内の気体の温度が  $T_A [K]$  の状態を考える。この状態を状態 A とする。このとき、シリンダー底面からピストンまでの距離  $l_A [m]$  は、 $l_A = \boxed{\text{ア}} [m]$  である。

次に、状態 A から気体の温度を一定に保つように気体から熱をとりさりながら、シリンダーと水平面のなす角度が  $\theta (0^\circ < \theta < 90^\circ)$  になるまで、ゆっくりとシリンダーを傾けた(図 3-2)。この状態を状態 B とする。このとき、シリンダー内の気体の圧力  $P_B [N/m^2]$  は、 $P_B = \boxed{\text{イ}} [N/m^2]$  である。また、シリ

ンダー底面からピストンまでの距離  $l_B$  [m]は、 $l_B = \boxed{\text{ウ}}$  [m]である。

さらに、状態 B からシリンダーの傾きを一定に保ちながら、気体に熱を加えて、シリンダー底面とピストンまでの距離が  $l_A$  になるまで、気体をゆっくりと膨張させた。この状態を状態 C とする。状態 B → 状態 C の変化において気体に加えられた熱量  $Q_{BC}$  [J]は、 $Q_{BC} = \boxed{\text{エ}}$  [J]となる。

今度は、状態 A から気体の体積を一定に保つように気体に熱を加えながら、シリンダーと水平面のなす角度が  $\theta$  になるまで、ゆっくりとシリンダーを傾けた。この状態は状態 C と等しい。この状態変化において気体に加えられた熱量  $Q_{AC}$  [J]は、 $Q_{AC} = \boxed{\text{オ}}$  [J]となる。



(ア)の解答群

$$(1) \frac{2RT_A}{P_0S} \quad (2) \frac{RT_A}{2P_0S} \quad (3) \frac{RT_A}{P_0S} \quad (4) \frac{C_v T_A}{P_0S}$$

(イ)の解答群

$$(1) P_0 - \frac{Mg \sin \theta}{S} \quad (2) P_0 - \frac{Mg \cos \theta}{S} \quad (3) P_0$$

$$(4) P_0 + \frac{Mg \sin \theta}{S} \quad (5) P_0 + \frac{Mg \cos \theta}{S}$$

(ウ)の解答群

$$(1) \frac{RT_A}{P_0S + Mg \sin \theta} \quad (2) \frac{RT_A}{P_0S + Mg \cos \theta} \quad (3) \frac{RT_A}{P_0S}$$

$$(4) \frac{RT_A}{P_0S - Mg \sin \theta} \quad (5) \frac{RT_A}{P_0S - Mg \cos \theta}$$

(エ), (オ)の解答群

$$(11) R \frac{Mg \sin \theta}{P_0S} T_A \quad (12) C_v \frac{Mg \sin \theta}{P_0S} T_A$$

$$(13) R \frac{Mg \cos \theta}{P_0S} T_A \quad (14) C_v \frac{Mg \cos \theta}{P_0S} T_A$$

$$(15) -R \frac{Mg \sin \theta}{P_0S} T_A \quad (16) -C_v \frac{Mg \sin \theta}{P_0S} T_A$$

$$(17) -R \frac{Mg \cos \theta}{P_0S} T_A \quad (18) -C_v \frac{Mg \cos \theta}{P_0S} T_A$$

$$(19) (C_v + R) \frac{Mg \sin \theta}{P_0S} T_A \quad (20) (C_v + R) \frac{Mg \cos \theta}{P_0S} T_A$$

左のページは白紙です。

4

(10 点)

図 4-1 のように、一方が平面で他方が曲率半径  $R$ [m] の球面の平凸レンズを平面ガラスの上に載せ、平凸レンズの上方から、空气中で波長  $\lambda$ [m] の単色光を照射した。平凸レンズはガラスでできており、その絶対屈折率と平面ガラスの絶対屈折率は等しく、空気の絶対屈折率より大きい。ただし、空気の絶対屈折率は 1 とする。平面ガラスの下方から観察したところ、直接透過する光 a と、平面ガラスの上面で反射した後、平凸レンズの下面で反射した光 b とが干渉することにより、明暗が交互に繰り返される同心円状のしま模様(明環と暗環)が見えた。明環や暗環の半径を図のように  $r$ [m] とする。このとき、曲率半径  $R$ [m] は半径  $r$ [m] における両ガラスの間隔  $d$ [m] よりもじゅうぶん大きいので、 $d$  は、

$$d \doteq \frac{r^2}{2R} \quad ①$$

と近似できる。この関係を用いると、暗環の半径  $r$  は、 (ア) [m] と表される。

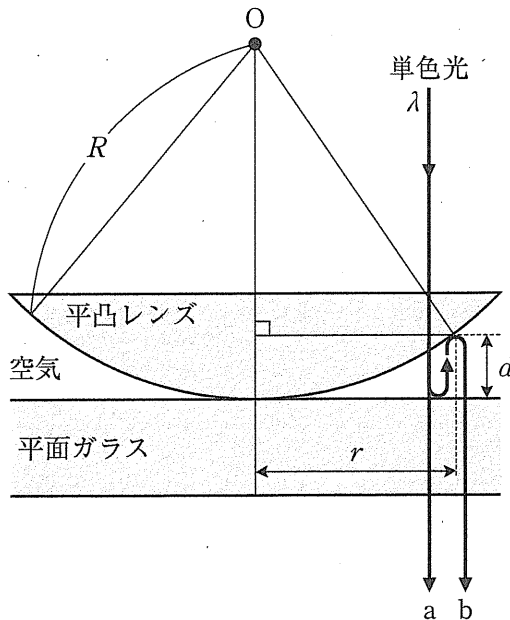


図 4-1

次に、図4-2のように、平凸レンズと平面ガラスの間に絶対屈折率  $n$  の液体をすきまなく満たし、平凸レンズと平面ガラスを  $h$ [m]だけ離し、平面ガラスの下方から観察したところ、同様に同心円状のしま模様(明環と暗環)が見えた。明環や暗環の半径が  $r$ [m]の位置における平凸レンズと平面ガラスの間隔は、①式の  $d$  をもちいて  $d + h$  と表される。このとき、暗環の半径  $r$  は (イ) を満たす。ただし、液体の絶対屈折率  $n$  は両ガラスの絶対屈折率よりも小さい。

いま、 $\lambda = 5.2 \times 10^{-7}$  m の単色光を照射し、 $h = 0$  から徐々に  $h$  を増やしながらしま模様を観察したところ、 $h = 1.0 \times 10^{-7}$  m のときに、 $h = 0$  における明環の位置に暗環が、暗環の位置に明環がはじめて現れた。このことから、間に満たされた液体の絶対屈折率は (ウ) と求められる。

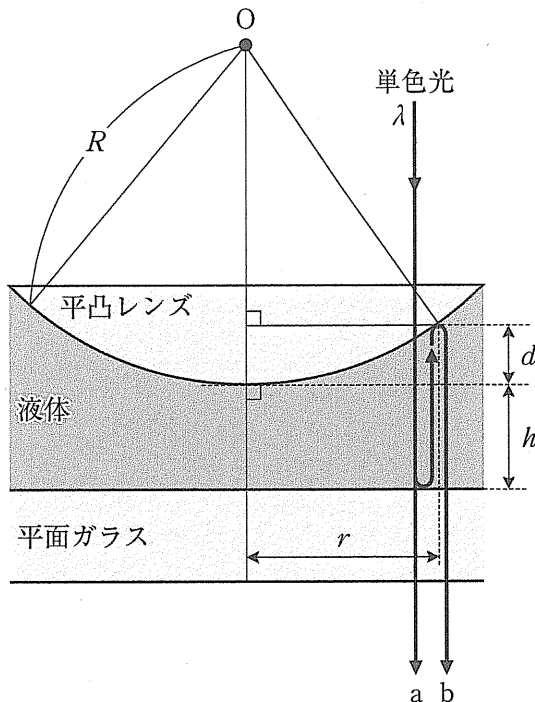


図4-2



(ア)の解答群(この解答群において,  $m = 0, 1, 2, \dots$ である。)

(1)  $\sqrt{\frac{2}{3}R\lambda\left(m + \frac{1}{2}\right)}$

(2)  $\sqrt{R\lambda\left(m + \frac{1}{2}\right)}$

(3)  $\sqrt{\frac{2}{3}R\lambda m}$

(4)  $\sqrt{R\lambda m}$

(イ)の解答群(この解答群において,  $m'$  は整数を表す。)

(1)  $n\left(\frac{r^2}{R} + 2h\right) = \left(m' + \frac{1}{2}\right)\lambda$

(2)  $n\left(\frac{r^2}{R} + 2h\right) = m'\lambda$

(3)  $\frac{1}{n}\left(\frac{r^2}{R} + 2h\right) = \left(m' + \frac{1}{2}\right)\lambda$

(4)  $\frac{1}{n}\left(\frac{r^2}{R} + 2h\right) = m'\lambda$

(ウ)の解答群

(1) 1.1

(2) 1.2

(3) 1.3

(4) 1.4

(5) 1.5

(6) 1.6

(7) 1.7

左のページは白紙です。

